

# Modernización de contadores de tránsito con comunicación bidireccional

Ing. Diego Aníbal Vázquez

**Carrera de Especialización en Internet de las Cosas**

**Director:** Ing. Rogelio Diego González

**Jurados:**

Jurado 1 (pertenencia)

Jurado 2 (pertenencia)

Jurado 3 (pertenencia)

*Ciudad de Buenos Aires, marzo de 2026*



## *Resumen*

Esta memoria describe el desarrollo e implementación de un sistema para el registro de eventos de tránsito y la transmisión segura de datos. El diseño asegura la disponibilidad de la información incluso ante interrupciones en la conexión a Internet. El sistema fortalece el monitoreo de las rutas nacionales mediante comunicación bidireccional. Permite realizar diagnósticos remotos, actualizar parámetros, incrementar la precisión y consistencia de los datos y optimizar el trabajo del personal técnico y del equipamiento de monitoreo. Para su realización se aplicaron conocimientos de IoT, transmisión segura de datos y control de sistemas remotos.



## *Agradecimientos*

Quiero expresar mi más profundo agradecimiento a mi familia, quienes han sido un pilar fundamental en cada etapa de mi vida.



# Índice general

<b>Resumen</b>	<b>I</b>
<b>1. Introducción general</b>	<b>1</b>
1.1. Motivación	1
1.1.1. Contexto actual	1
1.1.2. Limitaciones del desarrollo previo	1
1.1.3. Impacto esperado	2
1.1.4. Diseño conceptual	2
1.2. Objetivos	2
1.2.1. Objetivo general	2
1.2.2. Objetivos específicos	2
1.3. Estado del arte y propuesta de valor	3
1.4. Alcance	3
<b>2. Introducción específica</b>	<b>5</b>
2.1. Protocolos y comunicación	5
2.2. Componentes de hardware utilizados	6
2.3. Tecnologías de software aplicadas	8
2.4. Software de control de versiones	10
<b>3. Diseño e implementación</b>	<b>11</b>
3.1. Arquitectura del sistema	11
3.1.1. Descripción ampliada de bloques y responsabilidades	11
3.1.2. Flujo de datos	13
3.2. Arquitectura del nodo	14
3.3. Desarrollo del backend	17
3.3.1. Arquitectura y tecnologías	17
3.3.2. Funcionalidades principales	19
3.3.3. Organización en controladores	19
3.3.4. Mapa de endpoints	20
3.3.5. Seguridad y extensibilidad	21
3.4. Desarrollo del frontend	21
3.4.1. Arquitectura y tecnologías	22
3.4.2. Funcionalidades principales	22
3.4.3. Integración con el backend	23
3.5. Despliegue del sistema	25
3.5.1. Entorno productivo y configuración	25
3.5.2. Monitoreo post-implantación	25
3.6. Integración con la infraestructura existente	26
<b>Bibliografía</b>	<b>27</b>





# Índice de figuras

1.1. Diagrama en bloques del sistema. . . . .	4
2.1. Contador de tránsito DTEC <sup>1</sup> . . . . .	6
2.2. Módulo RS-232/TTL <sup>2</sup> . . . . .	7
2.3. Microcontrolador ESP32-C3 utilizado en los nodos de campo <sup>3</sup> . . . . .	7
2.4. Módulo SIM800L <sup>4</sup> . . . . .	8
3.1. Diagrama de arquitectura del sistema y el flujo de datos. . . . .	13
3.2. Diagrama de secuencia del flujo de datos. . . . .	14
3.3. Diagrama de conexión entre los módulos del sistema. . . . .	16
3.4. Fotografía contador de tránsito DTEC instalado en campo <sup>5</sup> . . . . .	17
3.5. Diagrama de flujo de información del Backend. . . . .	18
3.6. Diagrama con la disposición de los controladores y flujo de dependencias. . . . .	20
3.7. Diagrama de estructura de los componentes por pantalla. . . . .	23
3.8. Diagrama de flujo de comunicación con el backend. . . . .	24



# Índice de tablas

3.1. Endpoints REST principales . . . . .	21
---	----



# Capítulo 1

## Introducción general

En este capítulo se presenta el marco de referencia y la justificación del trabajo. Se expone el contexto que motivó su desarrollo, los problemas detectados en la infraestructura actual, una revisión del estado del arte, la propuesta de valor y el alcance del prototipo planteado.

### 1.1. Motivación

Este trabajo propone la modernización de los contadores de tránsito instalados en rutas nacionales mediante la renovación de su arquitectura de comunicaciones.

#### 1.1.1. Contexto actual

Actualmente, los equipos registran el paso de vehículos y transmiten eventos al servidor central a través de enlaces GPRS tercerizados. No obstante, no admiten la recepción de comandos ni la obtención de diagnósticos remotos. Esta limitación reduce la capacidad operativa, incrementa los costos de mantenimiento y demora la resolución de fallas, debido a que todo ajuste o reparación requiere una intervención presencial [1], [2].

#### 1.1.2. Limitaciones del desarrollo previo

La propuesta se origina a partir del desarrollo de un contador de tránsito destinado a registrar y transmitir información en campo. Sin embargo, la conexión remota de este dispositivo presenta limitaciones en cuanto a su capacidad de transmisión de datos y carece de mecanismos de control remoto, lo que dificulta tanto la supervisión del funcionamiento como la actualización de sus parámetros. Frente a estas restricciones, surge la necesidad de modernizar el sistema mediante la incorporación de una comunicación bidireccional confiable [3], [2].

El análisis del sistema vigente permitió identificar las siguientes limitaciones que motivan el rediseño:

- Comunicación unidireccional. Los contadores envían datos al servidor, pero no existe un canal para enviar configuraciones, consultas y comandos desde el servidor hacia los equipos. Esta limitación impide realizar diagnósticos remotos y ejecutar acciones correctivas sin presencia física.
- Dependencia de proveedores GPRS tercerizados. La dependencia de servicios contratados genera costos recurrentes y limita el control sobre la calidad y disponibilidad de la conectividad.

- Imposibilidad de actualización remota. Cualquier modificación de parámetros o ajustes de operación requiere intervención en el sitio. Esto incrementa tiempos de mantenimiento, costos logísticos y complica la aplicación rápida de mejoras.
- Falta de telemetría y diagnóstico preventivo. No se dispone de métricas sistemáticas sobre el estado operativo de los equipos (batería, temperatura, errores de hardware o comunicación).
- Riesgo de pérdida de datos ante conectividad intermitente. La ausencia de mecanismos de encolamiento persistente y de políticas claras de reenvío eleva la probabilidad de pérdida o duplicación de eventos cuando la red es inestable.

Estas deficiencias afectan la calidad del servicio de monitoreo, reducen la eficiencia operativa y constituyen los requisitos funcionales que orientan el diseño del prototipo.

### 1.1.3. Impacto esperado

La modernización permite reducir los desplazamientos de personal técnico y acortar los tiempos de resolución de incidentes con la consiguiente disminución de costos logísticos. La incorporación de telemetría facilita la planificación de intervenciones preventivas en lugar de responder exclusivamente a fallas, lo que optimiza la disponibilidad del servicio y la calidad de los datos recolectados. Además, la adopción de protocolos estandarizados y componentes de código abierto promueve la escalabilidad y la replicabilidad de la solución en distintos tramos de la red vial [4] ,[5] ,[6].

### 1.1.4. Diseño conceptual

La propuesta separa de forma explícita el transporte de mensajes (broker MQTT) de los servicios de aplicación (API REST, almacenamiento y frontend). Esta separación facilita la interoperabilidad con plataformas institucionales existentes y habilita opciones de despliegue flexibles: uso de brokers externos, instalación de brokers locales o modelos híbridos según políticas institucionales y condiciones de conectividad.

## 1.2. Objetivos

### 1.2.1. Objetivo general

Modernizar los contadores de tránsito en rutas nacionales mediante la renovación de su arquitectura de comunicaciones para habilitar comunicación bidireccional confiable, control remoto y telemetría de estado.

### 1.2.2. Objetivos específicos

A continuación, se detallan los objetivos específicos que orientan el desarrollo del trabajo:

- Garantizar la entrega de eventos aun con conectividad intermitente.

- Implementar mecanismos de encolado y reintento que eviten duplicaciones y pérdidas de información.
- Habilitar la ejecución remota de comandos y la actualización de parámetros desde un servidor central, con confirmación explícita del estado del equipo.
- Disminuir la dependencia de enlaces tercerizados mediante una arquitectura configurable.
- Permitir la modificación remota de parámetros operativos y la carga de ajustes sin desplazamientos.
- Incorporar telemetría de estado (batería, temperatura y códigos de error) para mantenimiento preventivo.
- Validar la viabilidad técnica y la robustez operativa del sistema.

### 1.3. Estado del arte y propuesta de valor

En el mercado existen soluciones comerciales [7], [8], que ofrecen gestión remota y comunicación bidireccional para dispositivos de campo. Dichas soluciones suelen incluir plataformas propietarias con soporte técnico, servicios administrados y herramientas de análisis avanzadas. Estas alternativas, sin embargo, presentan costos elevados de adquisición y mantenimiento, así como dependencias tecnológicas que restringen la posibilidad de adaptación a condiciones locales específicas.

En el ámbito académico y técnico también se han documentado diversas experiencias orientadas a la gestión remota de infraestructuras distribuidas mediante protocolos de mensajería ligera como MQTT o tecnologías de comunicación celular [9], [10]. Estos trabajos resaltan la eficiencia de los modelos de publicación y suscripción, especialmente en entornos con restricciones de conectividad, pero en muchos casos se centran en aplicaciones industriales que difieren de las condiciones propias de las rutas nacionales [11].

Además, se han desarrollado plataformas de monitoreo basadas en API REST y bases de datos relacionales, que permiten la integración con interfaces web para la visualización y control [12]. Estas experiencias muestran la tendencia hacia arquitecturas abiertas y modulares, aunque su adopción práctica suele estar ligada a contextos con mayor disponibilidad de infraestructura y recursos.

El estado del arte muestra soluciones maduras para la gestión remota y la comunicación bidireccional, aunque con limitaciones asociadas a costos elevados, rigidez tecnológica o requerimientos de infraestructura. Estas restricciones evidencian la necesidad de alternativas específicas y adaptadas a entornos viales argentinos, donde la conectividad suele ser intermitente.

### 1.4. Alcance

El trabajo desarrolla un prototipo funcional destinado a validar las hipótesis técnicas y operativas. El alcance comprende los siguientes objetivos y límites:

- Rediseño de comunicaciones: implementación de un modelo bidireccional y seguro entre los dispositivos de conteo y el servidor central, basado en MQTT sobre GPRS y con autenticación por credenciales.
- Gestión de mensajes en el dispositivo: encolamiento en memoria RAM con política FIFO, control de reintentos ante fallos de conexión y lógica de descarte cuando la cola alcance su límite definido.
- Backend y persistencia: desarrollo de una API REST que se suscriba al broker MQTT, procese los eventos y almacene los registros en una base de datos relacional para consulta histórica.
- Interfaz web básica: panel de visualización en tiempo real de eventos de tránsito y módulo para envío de comandos y verificación de estado de los dispositivos.
- Funciones de telemetría: reporte de nivel de batería, temperatura y códigos de error para facilitar el diagnóstico remoto.

El alcance técnico incluye la adaptación de un contador existente para comunicarse bidireccionalmente por GPRS, que emplee MQTT como protocolo de mensajería ligera y confiable. Asimismo, comprende el desarrollo de un backend que reciba, procese y persista los eventos en una base de datos relacional. Además, una interfaz web básica que permita la visualización en tiempo real y el envío de comandos hacia los dispositivos. Se priorizan las funciones que validen la cadena completa: adquisición de eventos desde el sistema de detección, encolamiento local con política FIFO, reenvío seguro cuando haya conectividad, recepción y ejecución de comandos y verificación del estado del dispositivo tras cada acción.

La figura 1.1 muestra el diagrama en bloques del sistema. El dispositivo de conteo envía datos por GPRS a un broker MQTT, el servidor central los procesa y almacena en una base de datos, mientras que una API REST permite su consulta y la ejecución de comandos desde una interfaz web.

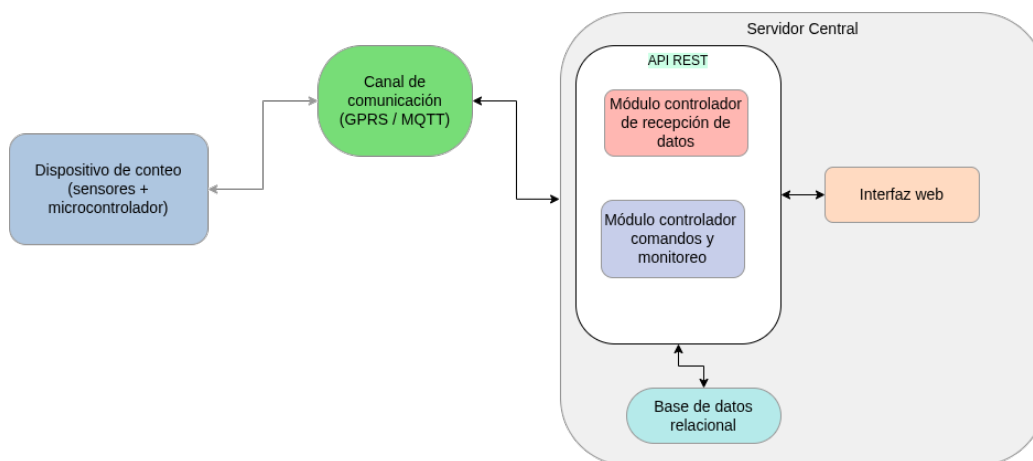


FIGURA 1.1. Diagrama en bloques del sistema.



## Capítulo 2

# Introducción específica

En este capítulo se detallan los aspectos técnicos específicos que constituyen la base del trabajo. En primer lugar, se describen los protocolos de comunicación que se emplean y la función de cada uno de ellos en la transmisión de datos. Luego, se presentan los componentes de hardware que utiliza el prototipo. A continuación, se analizan las tecnologías de software que integran la solución, la herramienta de control de versiones adoptada para el desarrollo colaborativo y la gestión del código fuente.

### 2.1. Protocolos y comunicación

El diseño de un sistema de conteo de tránsito con comunicación bidireccional demanda la incorporación de protocolos que aseguren confiabilidad y eficiencia en el intercambio de datos. En este trabajo se integran tres tecnologías principales:

- RS-232: es un estándar de comunicación serial utilizado tradicionalmente en sistemas embebidos. Permite la transmisión de datos punto a punto entre el contador de tránsito y el microcontrolador ESP32-C3 [13]. Su simplicidad lo hace adecuado para distancias cortas y ambientes donde la interferencia es controlada. Aunque se trata de un protocolo clásico, su adopción garantiza compatibilidad con dispositivos que aún dependen de interfaces seriales [14], [15].
- MQTT: este protocolo de mensajería ligera se emplea tanto para la transmisión de eventos de tránsito desde los dispositivos hacia el servidor central como para la recepción de comandos en sentido inverso. MQTT opera sobre TCP/IP [16] y emplea un modelo de publicación/suscripción a través de un broker, lo que facilita la escalabilidad y la integración de múltiples dispositivos. Además, permite implementar mecanismos de calidad de servicio (QoS) que reducen la probabilidad de pérdida de datos en condiciones de conectividad inestable, lo que resulta crucial para el escenario de rutas nacionales [17].
- API REST: constituye la interfaz de comunicación entre el backend y los clientes web. Su inclusión en el trabajo posibilita la consulta y el envío de información de manera estructurada, mediante operaciones estándar (GET, POST, PUT, DELETE). La API REST asegura la interoperabilidad con diferentes plataformas y brinda flexibilidad para desarrollar aplicaciones adicionales que utilicen los datos recolectados [18], [19] .

La combinación de estos protocolos permite cubrir distintos niveles de la arquitectura: comunicación local (RS-232), comunicación de dispositivos con el servidor (MQTT) y comunicación entre el servidor y las aplicaciones de usuario (API REST). De esta forma, se garantiza un flujo de datos seguro, confiable y bidireccional.

## 2.2. Componentes de hardware utilizados

El prototipo se implementa con un conjunto de componentes de hardware seleccionados por su disponibilidad, costo y adecuación al entorno de operación:

- Contador de tránsito: dispositivo de campo encargado de detectar y acumular el paso de vehículos y generar tramas de datos que contienen información de conteo, clasificación y marcas temporales. Estos equipos permiten registrar de manera continua el flujo vehicular en rutas nacionales y constituyen la base del sistema de monitoreo. Si bien en el mercado existen distintos contadores comerciales que ofrecen funcionalidades similares, muchos de ellos presentan altos costos de adquisición, dependencia de plataformas propietarias o limitaciones de integración. En este trabajo se optó por utilizar un contador desarrollado por la Dirección Nacional de Vialidad, que ha sido probado en distintas rutas nacionales del país y cuenta con una interfaz de salida RS-232 [15] con un adaptador MAX232 [20]. Esta elección responde a criterios de soberanía tecnológica, optimización de recursos ya disponibles y reducción de costos. Además, el contador no solo transmite información de eventos, sino que también admite la recepción de comandos externos a través del nodo, lo que habilita funcionalidades de diagnóstico, reconfiguración remota y confirmación de estado. De este forma, se garantiza la compatibilidad con la infraestructura existente y se potencia su integración dentro de una arquitectura moderna basada en protocolos abiertos.

En la figura 2.1 se observa el contador de tránsito. Este dispositivo constituye la base del sistema de detección de eventos.



FIGURA 2.1. Contador de tránsito DTEC <sup>1</sup>.

- Módulo de adaptación RS-232/TTL (MAX232): este circuito se encarga de convertir los niveles de tensión de forma bidireccional, protege los dispositivos y garantiza una transmisión de datos confiable y libre de errores [20].

En la figura 2.2 se observa el módulo de adaptación RS-232/TTL (MAX232).

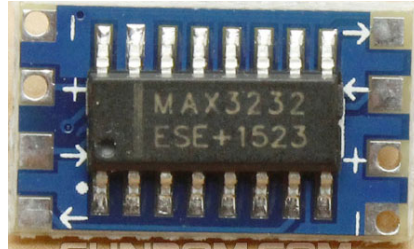


FIGURA 2.2. Módulo RS-232/TTL <sup>2</sup>.

- ESP32-C3: microcontrolador de bajo consumo que actúa como unidad de procesamiento y comunicación. Integra conectividad y capacidad de comunicación serial, lo que lo hace adecuado para la interacción con el contador y con el módulo GPRS [21].

En la figura 2.3 se muestra el microcontrolador utilizado en campo.

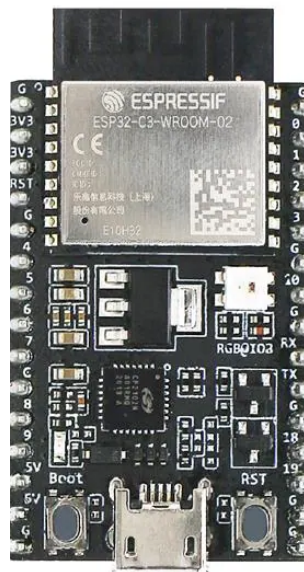


FIGURA 2.3. Microcontrolador ESP32-C3 utilizado en los nodos de campo <sup>3</sup>.

- Módulo GPRS SIM800L: permite la conexión de los dispositivos a la red celular [22], que asegura la transmisión de datos al servidor central mediante

<sup>1</sup>Imagen tomada de <http://transito.vialidad.gob.ar/>

<sup>2</sup>Imagen tomada de <https://www.alldatasheet.com/datasheet-pdf/pdf/73074/MAXIM/MAX232.html>

<sup>3</sup>Imagen tomada de <https://docs.espressif.com/projects/esp-idf/en/v5.0/esp32c3/hw-reference/esp32c3/user-guide-devkitm-1.html>

MQTT. Se eligió por su bajo costo, disponibilidad en el mercado y facilidad de integración con el ESP32-C3.

En la figura 2.4 se aprecia el módulo SIM800L que implementa la conectividad celular GPRS.



FIGURA 2.4. Módulo SIM800L <sup>4</sup>.

- Servidor central: responsable de recibir los datos transmitidos, almacenarlos en una base de datos y responder a las solicitudes de los usuarios.
- PC con navegador web: constituye el medio de interacción del usuario final con el sistema, a través de la interfaz desarrollada.
- Fuente de alimentación: fuente principal con batería interna recargable y recarga mediante panel solar, capaz de cubrir los picos de consumo del SIM800L. Incluye regulador de tensión y capacitores que estabilizan el voltaje y evitan reinicios.
- Carcasa y gabinete: protección para el contador y el módulo de comunicación (ESP32-C3 y SIM800L) en un gabinete cerrado resistente a humedad, polvo y vibraciones, con disipación térmica y reducción de interferencias electromagnéticas.
- Componentes adicionales: filtros (capacitores) para garantizar estabilidad y evitar reinicios inesperados.

La integración de estos componentes asegura que el sistema pueda operar en condiciones reales y que cumpla con los requisitos.

## 2.3. Tecnologías de software aplicadas

El desarrollo del prototipo se sustenta en la integración de tecnologías de software abiertas y estandarizadas, seleccionadas por su solidez, amplia adopción en la comunidad tecnológica y capacidad para interoperar de manera eficiente entre los distintos componentes del sistema:

---

<sup>4</sup>Imagen tomada de <https://www.alldatasheet.com/datasheet-pdf/pdf/1741389/SIMCOM/SIM800L.html>

- MQTT con Eclipse Mosquitto. La mensajería ligera y bidireccional se implementa mediante el protocolo MQTT, operando sobre el broker Eclipse Mosquitto [23]. Este software es ampliamente utilizado en entornos de Internet de las Cosas (IoT).
- API REST con Node.js y Express. El backend se desarrolla en Node.js [24], un entorno de ejecución orientado a aplicaciones de red no bloqueantes, y se estructura con Express [25], un framework ligero que facilita la creación de servicios RESTful.
- Base de datos relacional MySQL. La persistencia de los datos se implementa en MySQL [26], un sistema gestor de bases de datos relacionales ampliamente adoptado. En ella se almacenan de manera estructurada tanto los eventos de tránsito como los estados reportados por los equipos.
- ORM con Sequelize. Para abstraer la interacción con la base de datos y mantener independencia frente a cambios en la capa de persistencia, se utiliza Sequelize [27], un ORM para Node.js que permite definir modelos y relaciones de manera declarativa.
- Sistema de logging con Winston. La trazabilidad de eventos y errores se gestiona mediante Winston [28], una biblioteca de logging que soporta múltiples transportes y permite configurar niveles de severidad, formatos y timestamps.
- Middleware de registro HTTP con Morgan. Para capturar y auditar el tráfico entrante al backend se emplea Morgan [29], un middleware especializado en logging de peticiones HTTP, que complementa funcionalidad de Winston.
- Interfaz web con Ionic y Angular. Para la interacción con el usuario final se diseñó una aplicación accesible desde cualquier navegador, construida con Ionic [30] y Angular [31]. La primera aporta componentes visuales responsivos que aseguran usabilidad tanto en entornos de escritorio como en dispositivos móviles.
- Orquestación con Docker Compose. Para simplificar el despliegue y la gestión de los servicios del backend, se utiliza Docker Compose [32]. Esto permite levantar de manera consistente los contenedores de la API REST, el broker MQTT y la base de datos MySQL, que asegura que todas las dependencias se inicien en el orden correcto y facilita la replicación del entorno en desarrollo, prueba y producción.
- Firmware para ESP32-C3 con ESP-IDF. El microcontrolador ejecuta un firmware desarrollado en C/C++, el cual utiliza el framework oficial de ESP-IDF [33], el framework oficial de Espressif. Este entorno proporciona bibliotecas optimizadas. El firmware controla la captura de datos desde el contador mediante RS-232, gestiona la comunicación con el módulo SIM800L mediante comandos AT y establece la conexión con el broker Mosquitto a través de MQTT.

## 2.4. Software de control de versiones

Para la gestión del código fuente se empleó GitHub [34], una plataforma que se basa en el sistema de control de versiones Git. Esta herramienta permitió almacenar el repositorio central de manera segura, registrar el historial de cambios y garantizar la trazabilidad de cada modificación realizada durante la etapa de desarrollo del prototipo.

El repositorio incluye el firmware del ESP32-C3, el backend en Node.js con Express y la interfaz web desarrollada con Ionic y Angular. Esto facilita mantener el código organizado, con la posibilidad de crear ramas independientes para implementar nuevas funciones y, posteriormente, integrarlas al código principal mediante pull requests, lo que permite revisar y validar los cambios antes de su incorporación definitiva.

Asimismo, se emplean issues para documentar incidencias, planificar tareas y realizar el seguimiento de los avances. Esta práctica favorece la organización del trabajo y permite mantener un registro claro de los problemas detectados y las decisiones adoptadas.

## Capítulo 3

# Diseño e implementación

En este capítulo se describe la arquitectura global del prototipo, se detalla cada módulo de hardware y software que lo compone, y se documentan las decisiones de implementación y los criterios de diseño. Se explican los flujos de datos entre el dispositivo de campo, el broker MQTT, el backend (API REST), la interfaz web, se resumen las consideraciones para el despliegue y el monitoreo post-implantación.

### 3.1. Arquitectura del sistema

La arquitectura propuesta separa de forma explícita el dispositivo de campo (contador + ESP32-C3 + SIM800L), el transporte de mensajes (broker MQTT) y los servicios de aplicación (API REST, persistencia y frontend). Esta separación facilita la interoperabilidad y permite desplegar la solución de forma local, remota o híbrida según las políticas institucionales

#### 3.1.1. Descripción ampliada de bloques y responsabilidades

El sistema se organiza en cinco bloques principales, cada uno con responsabilidades claramente definidas para garantizar un flujo de datos confiable, eficiente y seguro. Cada bloque cumple funciones específicas dentro del ciclo de captura, transmisión, procesamiento y visualización de los eventos, que asegura trazabilidad, persistencia y control de comandos remotos. Se describen los bloques y sus responsabilidades:

- Dispositivo de campo: el nodo de campo integra el contador existente (salida RS-232), un microcontrolador ESP32-C3 y un módem GPRS SIM800L. El firmware, desarrollado sobre `ESP-IDF`, realiza las siguientes funciones: lectura continua de la trama serial, parsing tolerante a ruido, preprocesado (validación, normalización de campos y asignación de sello temporal UTC), encolamiento FIFO de eventos, gestión de reintentos y publicación MQTT cuando hay conectividad. Además, el nodo se suscribe a los tópicos de comandos y publica telemetría y acks. En el nodo se implementa persistencia mínima (registro de comandos pendientes y últimas N tramas) para recuperación tras reinicio.
- Transporte (broker MQTT): el broker actúa como bus de mensajes desacoplado. Se recomienda emplear Eclipse Mosquitto en la etapa inicial y evaluar brokers gestionados para despliegues a mayor escala. El broker gestiona autenticación por credenciales, control de tópicos y cifrado. Se emplean tópicos jerárquicos por dispositivo para facilitar filtrado y autorización:

- `dispositivo/{id}/medicion`
- `dispositivo/{id}/comando`
- `dispositivo/{id}/respuesta`
- Servidor central: el servidor central reúne dos responsabilidades principales:
  - Componente suscriptor MQTT que valida, transforma y enruta mensajes hacia la lógica de negocio y la persistencia.
  - API REST que expone servicios de consulta, gestión y emisión de comandos. Esta separación permite que consumidores adicionales (por ejemplo, módulos analíticos) se suscriban al broker sin impactar la disponibilidad de la API. La persistencia se implementa en MySQL con un esquema relacional que soporta consultas por rango temporal, índices para rendimiento y auditoría de comandos.
- Cliente/Visualización: la interfaz web consume la API REST para consultas históricas y para recibir eventos en tiempo real. Se eligió Ionic + Angular por su compatibilidad con entornos de escritorio y móviles y por facilitar un despliegue unificado. Las funciones principales del cliente son: visualización de eventos en tiempo real, consulta histórica filtrada, envío de comandos remotos con seguimiento de estado y panel de telemetría para mantenimiento preventivo.

Se tomaron decisiones de diseño clave para el sistema. En primer lugar, se separó el broker de la aplicación, lo que permite cambiar de broker o desplegar uno local sin afectar la lógica de negocio. Para la mensajería se optó por MQTT, debido a que es un protocolo ligero que minimiza el overhead en redes GPRS y facilita la comunicación mediante el modelo pub/sub. Además, se implementó una API REST utilizando Node.js y Express para exponer endpoints tanto transaccionales como de gestión, centralizando la autenticación y el control de accesos.

La figura 3.1 muestra el diagrama de arquitectura del sistema y el flujo de datos.



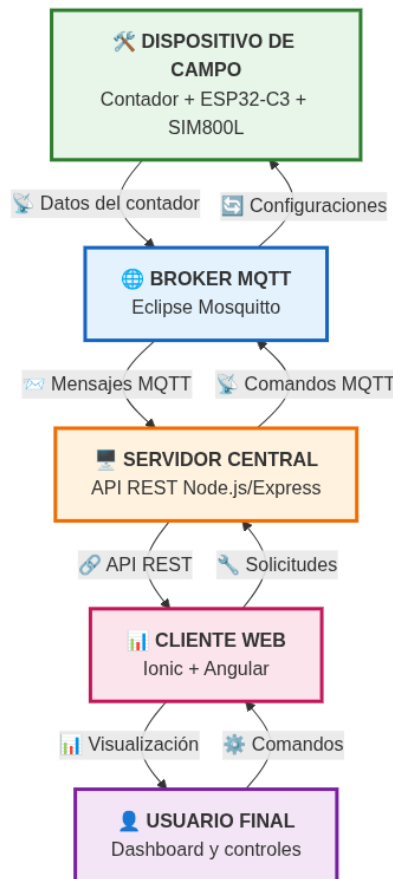


FIGURA 3.1. Diagrama de arquitectura del sistema y el flujo de datos.

### 3.1.2. Flujo de datos

El flujo de datos del sistema describe cómo se captura, procesa y comunica la información desde el contador hasta la interfaz de usuario, lo que permite la trazabilidad, persistencia y control de los eventos y comandos. Se detallan las etapas principales:

- **Detección:** el contador detecta un paso, acumula y en determinado intervalo envía una trama por RS-232 al ESP32-C3.
- **Preprocesado en nodo:** el firmware valida la trama, añade sello temporal y metadatos, y encola el evento en memoria (FIFO).
- **Transmisión:** cuando la conexión GPRS está disponible, el nodo publica las mediciones en el tópico MQTT `dispositivo/id/medicion`.
- **Ingesta y persistencia:** el broker Mosquitto entrega el mensaje al suscriptor backend, el servicio valida el payload y persiste el registro en la base de datos MySQL.
- **Visualización/Control:** la interfaz web consulta la API REST para datos históricos y recibe notificaciones en tiempo real.

- Emisión de comandos (desde UI): el operador genera un comando en la interfaz, la UI envía `POST /app/comando` al backend, que crea un `comm_id` único con `dispositivoId` y publica en `dispositivo/id/comando`.
- Recepción nodo/Entrega al contador: el ESP32-C3 en `dispositivo/id/comando` recibe el comando, valida `cmd_id` y lo envía al contador por RS-232, se aplica un timeout configurable por comando.
- Ejecución y ack: el contador ejecuta la orden y responde por RS-232, el firmware publica el `ack/resultado` en `dispositivo/id/respuesta` con `cmd_id` y `status` (`ok`, `failed`, `timeout`, `value`).
- Actualización en backend y UI: el suscriptor MQTT del backend recibe el ack, actualiza la tabla `respuesta` (campo `valor`, `ack_ts`) y notifica a la UI para que el operador vea el resultado.

La figura 3.2 muestra el diagrama de secuencia del flujo de datos.

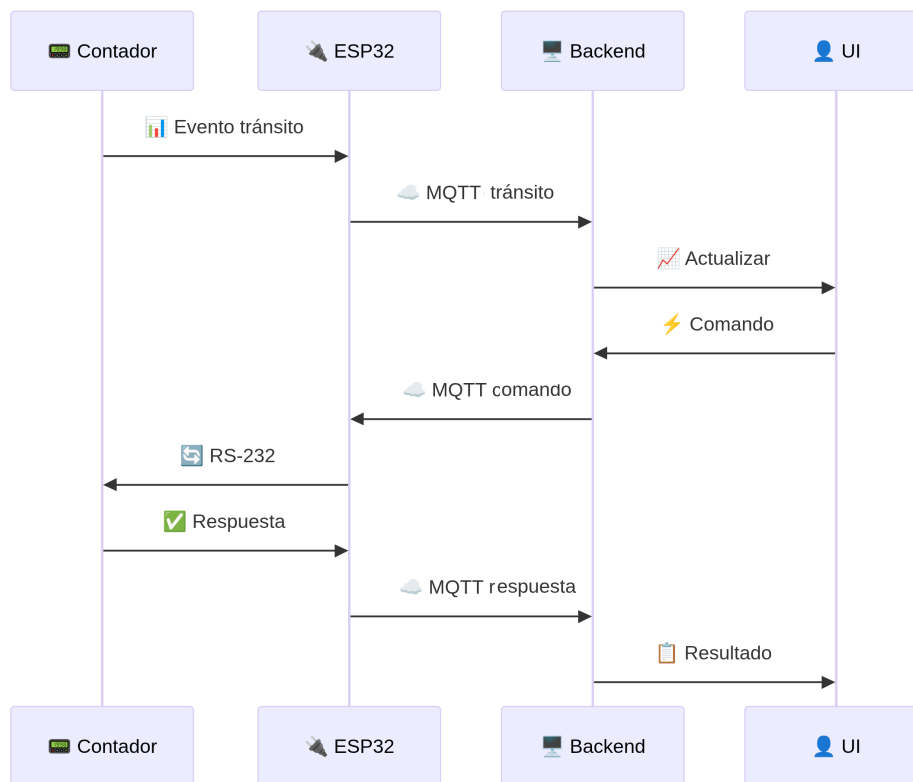


FIGURA 3.2. Diagrama de secuencia del flujo de datos.

### 3.2. Arquitectura del nodo

La arquitectura de cada nodo se diseñó con el objetivo de reutilizar los contadores de tránsito actualmente desplegados en las rutas nacionales. Cada nodo integra varios módulos que permiten la adquisición, procesamiento y transmisión de los datos de tránsito:

- Contador de tránsito modelo DTEC: dispositivo encargado de detectar el paso de vehículos y generar tramas de datos con la información del evento.
- Módulo de adaptación RS-232/TTL (MAX232): circuito de conversión de niveles eléctricos que asegura compatibilidad entre la interfaz serial del contador (RS-232) y el microcontrolador (niveles TTL).
- ESP32-C3: microcontrolador que ejecuta el firmware desarrollado sobre ESP-IDF. Sus funciones incluyen el preprocesamiento de eventos, el encolamiento FIFO, la suscripción a comandos remotos y la gestión integral de la comunicación con el servidor.
- Módulo de comunicación GPRS (SIM800L): interfaz de conectividad celular que publica eventos en el broker MQTT, recibe comandos desde el servidor y retransmite respuestas o estados del nodo.
- Alimentación y montaje: para garantizar el funcionamiento continuo del nodo en entornos de campo, se deben considerar dos aspectos fundamentales:
  - Fuente de alimentación: se implementó un sistema de energía basado en una batería interna recargable, específicamente dimensionada para cubrir los picos de consumo del módulo SIM800L durante las transmisiones de datos. La autonomía del sistema está garantizada mediante un panel solar que mantiene la carga de la batería de forma continua.

Para estabilizar la entrega de energía se incorporó un módulo regulador de tensión que garantiza el nivel adecuado de voltaje para el módem. El circuito se complementó con capacitores dimensionados para absorber los picos de tensión del SIM800L, evitando caídas de voltaje que puedan reiniciar el sistema.

La figura 3.3 se presenta el diagrama de conexión entre los módulos del sistema, detallando las líneas de comunicación serie RS232, la interfaz UART entre el microcontrolador y el módem GSM, así como la distribución de la alimentación eléctrica y los circuitos de estabilización de potencia.





FIGURA 3.4. Fotografía contador de tránsito DTEC instalado en campo <sup>1</sup>.

### 3.3. Desarrollo del backend

El backend constituye el núcleo lógico del sistema, encargado de articular la comunicación entre los dispositivos de campo, la base de datos y la interfaz de usuario. Su diseño se basó en principios de modularidad, escalabilidad y seguridad, empleando un conjunto de tecnologías ampliamente utilizadas en entornos de Internet de las Cosas (IoT).

#### 3.3.1. Arquitectura y tecnologías

El servicio fue implementado en Node.js con el framework Express, lo que permitió organizar la aplicación en controladores, rutas y middlewares. Para la interacción con la base de datos relacional se adoptó Sequelize [27], un ORM [35] que facilita la definición de modelos y garantiza independencia frente a cambios en la capa de persistencia.

La comunicación con los dispositivos se realiza mediante suscripción a tópicos MQTT en el broker Eclipse Mosquitto.

<sup>1</sup>Imagen tomada de <http://transito.vialidad.gob.ar/>

Cada vez que un dispositivo publica una medición en `dispositivo/{id}/medicion`, el backend lo recibe, valida el payload y lo persiste en MySQL.

En el backend, los comandos se publican en `dispositivo/{id}/comando` y las respuestas se actualizan según los envíos en `dispositivo/{id}/respuesta` incluyendo en el body el `cmd_id`.

Para el despliegue y la integración continua se empleó Docker Compose [32], lo que permite levantar simultáneamente el backend, la base de datos y el broker MQTT [17] en contenedores aislados.

El sistema de registro se implementó con Winston [28] y Morgan [29], integrados para disponer de trazabilidad tanto de las solicitudes HTTP como de la interacción con MQTT.

En la figura 3.5 se observa el diagrama de flujo de información del backend.

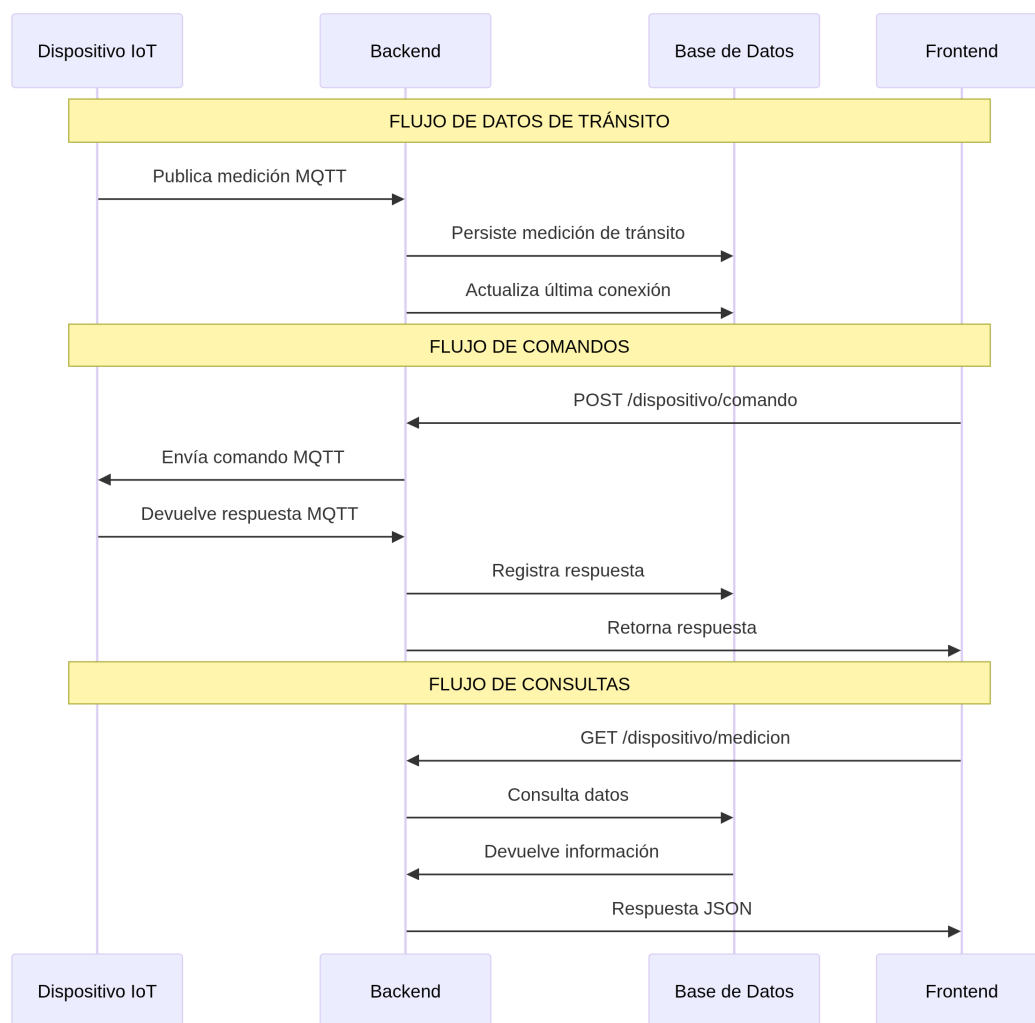


FIGURA 3.5. Diagrama de flujo de información del Backend.

### 3.3.2. Funcionalidades principales

El sistema cuenta con varias funcionalidades esenciales que permiten gestionar de manera eficiente los dispositivos, los eventos generados por ellos, los comandos enviados y la seguridad de acceso. Estas funcionalidades se detallan a continuación:

- Gestión de dispositivos: alta, baja, modificación y consulta.
- Gestión de eventos: almacenamiento de detecciones y consultas filtradas por dispositivo o rango temporal.
- Gestión de comandos: emisión de órdenes a un dispositivo, persistencia de la orden con identificador único (`cmd_id`) y actualización según respuesta.
- Estado de dispositivos: consulta de parámetros como nivel de batería, temperatura o conectividad.
- Autenticación y autorización: control de acceso mediante tokens JWT.

### 3.3.3. Organización en controladores

La lógica de negocio del backend se organiza en controladores, cada uno asociado a un recurso del sistema, lo que asegura una clara separación de responsabilidades, facilita el mantenimiento y permite la escalabilidad de la aplicación. Entre los controladores principales se encuentran los siguientes:

- `DispositivoController`: gestiona las operaciones CRUD sobre los dispositivos de campo, además de registrar los eventos recibidos vía MQTT y asociarlos a un dispositivo específico.
- `MedicionController`: encapsula la lógica de ingesta de eventos de tránsito, validación de payloads y persistencia en la base de datos.
- `ComandoController`: administra la emisión y seguimiento de comandos remotos, generando un `cmd_id` único y actualizando el estado conforme se reciben los `ack`.
- `RespuestaController`: centraliza la recepción de estados y telemetría (batería, conectividad), garantizando que la base de datos refleje la situación en tiempo real.
- `UserController`: implementa el ciclo de vida de usuarios y la autenticación mediante JWT, así como la validación de permisos en cada endpoint.

En la figura 3.7 se observa el diagrama con la disposición de los controladores y flujo de dependencias.

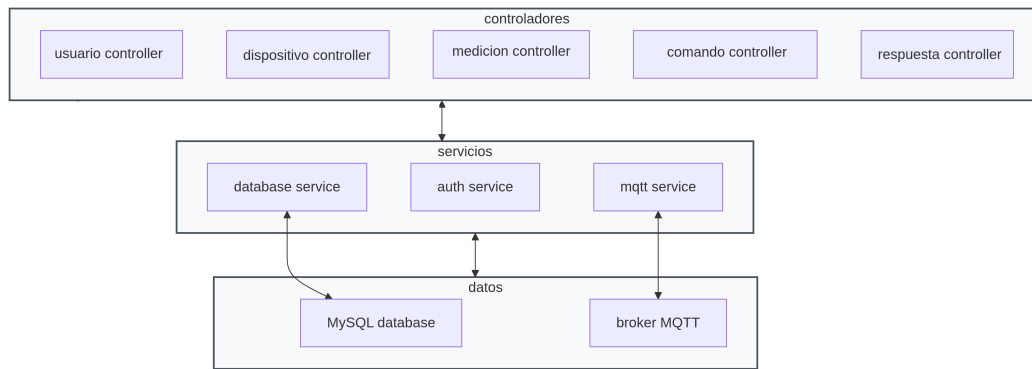


FIGURA 3.6. Diagrama con la disposición de los controladores y flujo de dependencias.

### 3.3.4. Mapa de endpoints

El backend expone una serie de endpoints REST que conforman la interfaz principal de comunicación con los servicios de aplicación y los dispositivos de campo. A continuación, se presenta el mapa general de los endpoints y controladores mas importantes para el flujo:



TABLA 3.1. Endpoints REST principales expuestos por el backend, junto con el controlador que implementa su lógica.

Endpoint	Controlador	Descripción
GET /dispositivo	DispositivoController	Lista todos los dispositivos registrados
GET /dispositivo/{id}	DispositivoController	Devuelve información de un dispositivo específico
POST /dispositivo	DispositivoController	Alta de un nuevo dispositivo
PATCH /dispositivo/{id}	DispositivoController	Actualización de atributos de un dispositivo
DELETE /dispositivo/{id}	DispositivoController	Eliminación de un dispositivo
POST /medicion	MedicionController	Crea mediciones de un dispositivo
GET /medicion/dispositivo/{id}	MedicionController	Consultar mediciones por dispositivo
GET /medicion/range	MedicionController	Consultar mediciones por rango temporal
POST /comando	ComandoController	Crear un comando remoto y publicarlo en MQTT
GET /comando/{id}	ComandoController	Consultar un comando
GET /respuesta/{id}	RespuestaController	Consultar respuesta de un comando
POST /usuario/login	UserController	Autenticación de usuario, devuelve token JWT
POST /usuario	UserController	Alta de usuario
GET /usuario	UserController	Listar usuarios registrados
DELETE /usuario/{id}	UserController	Eliminar usuario

### 3.3.5. Seguridad y extensibilidad

Además de la autenticación mediante JWT, todos los endpoints aplican validaciones y sanitización de parámetros de entrada y salida. El sistema de logging, implementado con Winston y Morgan, garantiza trazabilidad de las operaciones tanto en la capa HTTP como en la mensajería MQTT. La arquitectura modular basada en controladores permite extender el backend con nuevos recursos o funcionalidades sin afectar la lógica ya implementada.

## 3.4. Desarrollo del frontend

El frontend del sistema se diseñó como una Single Page Application (SPA) se desarrolla en Ionic con Angular y TypeScript. El objetivo es proporcionar una interfaz moderna e intuitiva, accesible desde navegador, que permita al operador autenticarse, supervisar en tiempo real los eventos captados por los contadores de tránsito, consultar históricos almacenados en la base de datos y emitir comandos remotos hacia los nodos de campo.

### 3.4.1. Arquitectura y tecnologías

El cliente web se estructura en componentes reutilizables de Ionic, lo que facilita la navegación y asegura un diseño responsivo tanto en entornos de escritorio como móviles. La comunicación con el backend se realiza mediante peticiones HTTP a la API REST, y en casos donde se requiere actualización en tiempo real se emplea un canal de notificación basado en WebSocket.

Las tecnologías principales aportan ventajas concretas:

- Ionic: conjunto de componentes UI listos para usar que permiten construir pantallas consistentes y adaptables.
- Angular: organización de la aplicación en módulos y servicios, favoreciendo la escalabilidad.
- TypeScript: tipado estático para mejorar la robustez del código y prevenir errores en tiempo de compilación.
- JWT: integración con el backend para autenticar todas las operaciones posteriores al login.

### 3.4.2. Funcionalidades principales

El frontend integra las siguientes funciones clave:

- Login de usuario: ingreso con credenciales, validación contra la API y obtención de un token JWT.
- Listado de dispositivos: muestra todos los contadores registrados, junto con información de ubicación y estado básico.
- Detalle de dispositivo: despliega datos específicos de un contador y últimas tramas recibidas.
- Panel de mediciones: permite visualizar los eventos de tránsito procesados, con actualización dinámica cuando el dispositivo transmite nuevas tramas.
- Historial de eventos: consulta de registros almacenados en la base de datos, filtrados por dispositivo y rango temporal.
- Envío de comandos: panel que habilita la emisión de órdenes remotas al nodo de campo (reset de contador, cambio de parámetros, obtención de parámetros), verificando el acuse de recibo y mostrando el resultado al usuario (ok, failed, timeout, value).

En la figura 3.7 se observa la estructura de los componentes por pantalla.

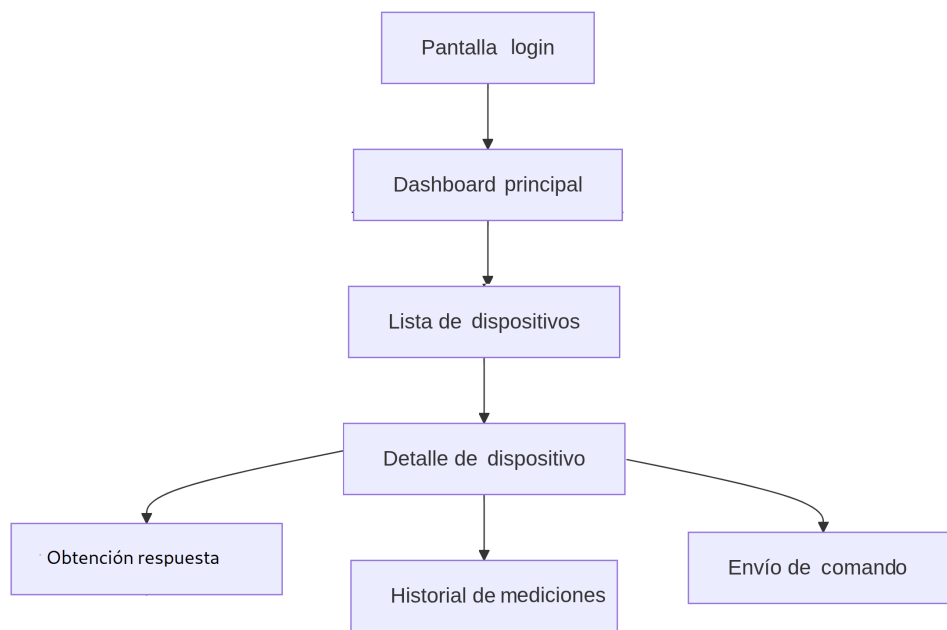


FIGURA 3.7. Diagrama de estructura de los componentes por pantalla.

### 3.4.3. Integración con el backend

Todas las operaciones del frontend se apoyan en los endpoints REST definidos en el backend (ver Sección 3.1). Cada petición incluye en sus cabeceras el token JWT obtenido en el login, lo que garantiza que sólo usuarios autorizados puedan acceder a datos sensibles o emitir comandos. El backend devuelve respuestas en formato JSON, que son interpretadas y representadas en la interfaz en tiempo real, que asegura consistencia entre la vista del operador y el estado real de los dispositivos.

En la figura 3.8 se observa el diagrama de flujo de comunicación con el backend.

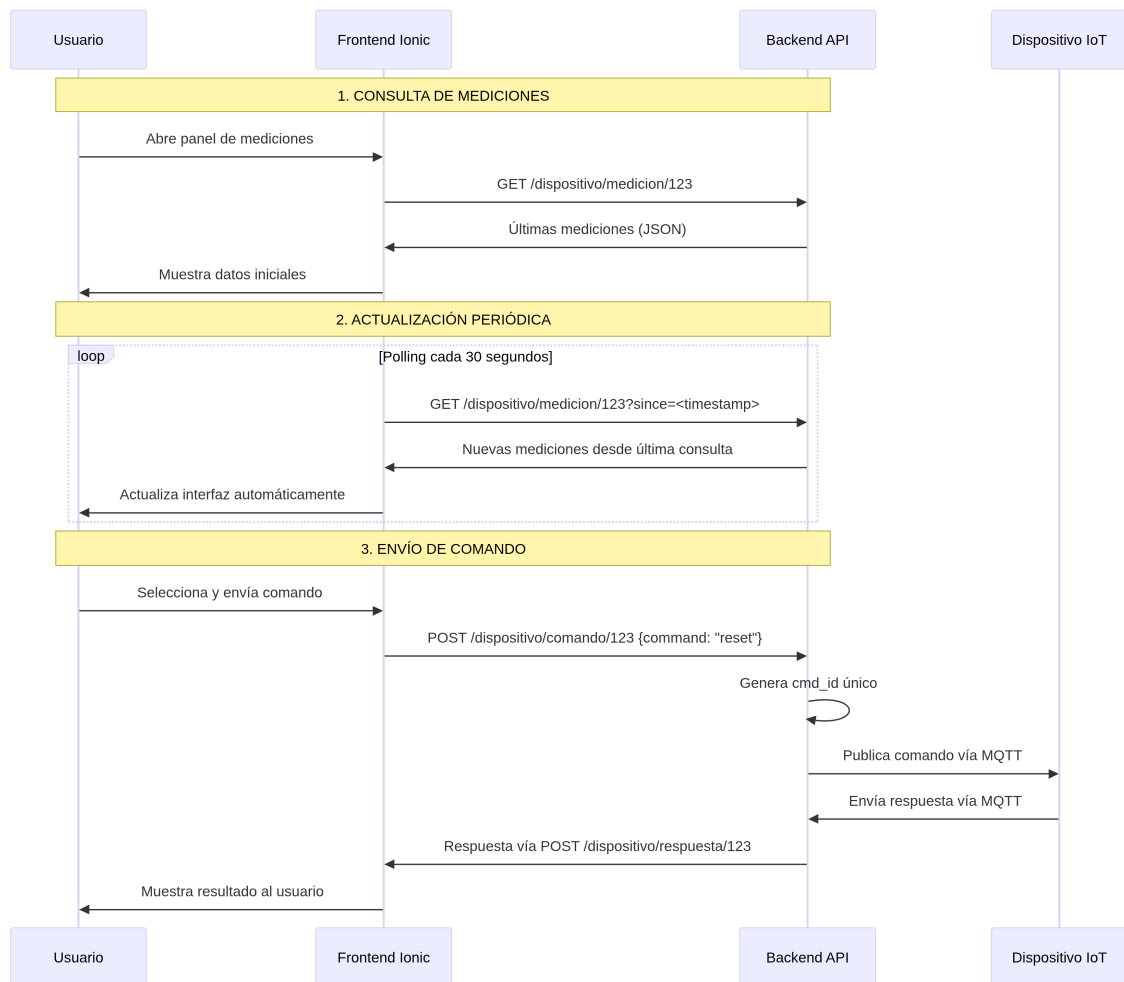


FIGURA 3.8. Diagrama de flujo de comunicación con el backend.

## 3.5. Despliegue del sistema

El despliegue del sistema comprende la puesta en marcha coordinada de los distintos servicios que componen la arquitectura: el broker MQTT, la API REST, la base de datos relacional y la interfaz web. El objetivo es trasladar el prototipo desde un entorno de desarrollo hacia un entorno productivo, que asegura escalabilidad, confiabilidad y capacidad de monitoreo post-implantación.

### 3.5.1. Entorno productivo y configuración

Para simplificar la orquestación se emplea Docker Compose, lo que permite instanciar todos los servicios en contenedores aislados pero comunicados entre sí. Cada componente cumple un rol específico:

- Broker MQTT (Eclipse Mosquitto): configurado como servicio de mensajería central. Se habilitan credenciales de acceso, control de tópicos por dispositivo y soporte de cifrado TLS en despliegues productivos. Su rol es recibir eventos desde los nodos de campo y distribuirlos a los suscriptores autorizados (API REST u otros consumidores).
- API REST (Node.js/Express): implementada como contenedor independiente, integra lógica de negocio y suscripción al broker MQTT. De esta forma, cada evento recibido es validado, transformado y almacenado en la base de datos. La API expone endpoints para:
  - Gestión de dispositivos y usuarios.
  - Consulta de eventos por rango temporal o por dispositivo.
  - Emisión y seguimiento de comandos remotos.
  - Acceso al estado operativo y telemetría de cada nodo.

Todos los endpoints están protegidos mediante autenticación con tokens JWT.

- Base de datos relacional (MySQL): instancia dedicada a persistencia de información. Su esquema incluye tablas de dispositivos, eventos, comandos y usuarios. Se definen índices para optimizar consultas históricas y se configuran respaldos automáticos diarios.
- Interfaz web (Ionic/Angular): desplegada como servicio accesible en navegador. Consume la API REST para mostrar eventos en tiempo real, ejecutar comandos y consultar históricos.

### 3.5.2. Monitoreo post-implantación

Una vez desplegado el sistema, resulta fundamental contar con mecanismos de monitoreo que permitan evaluar su correcto funcionamiento en campo:

- Logs centralizados: tanto el backend como el broker MQTT registran eventos en archivos y consola. Se integra con Grafana para correlacionar métricas.
- Alertas y métricas: mediante Grafana es posible recolectar indicadores de CPU, memoria y estado de contenedores. También se pueden graficar métricas de tráfico MQTT (mensajes publicados, latencias, pérdidas).

- Supervisión de dispositivos: la API REST expone endpoints que informan conectividad y parámetros básicos (nivel de batería, último evento recibido). Estos datos se representan en la interfaz web como panel de salud del sistema.
- Respaldo y recuperación: la base de datos implementa backups automáticos y permite restauraciones parciales. Esto garantiza que el historial de eventos no se pierda ante fallas de hardware o corrupción de datos.

### 3.6. Integración con la infraestructura existente

Una de las principales ventajas de este diseño es que no requiere modificaciones internas en el contador de tránsito. El nodo recibe los pulsos de detección mediante la interfaz RS-232, que preserva la integridad del equipo original.

El ESP32-C3 no se limita a reenviar datos, sino que añade valor al sistema al realizar un preprocesado local: filtra tramas, agrupa eventos en función de ventanas de tiempo y asegura la transmisión con políticas de reintento. Asimismo, la conexión con el servidor central mediante MQTT garantiza interoperabilidad con aplicaciones externas y facilita la escalabilidad del sistema.

En este contexto, los nodos de campo cumplen un doble rol: por un lado, son captadores de datos provenientes de los sensores de tránsito y por otro, actúan como puntos de control remoto, capaces de ejecutar comandos enviados desde la plataforma central. Esta dualidad refuerza la flexibilidad del sistema y lo hace adaptable a distintas políticas de gestión vial.

# Bibliografía

- [1] Juan Asiain et al. «LoRa-Based Traffic Flow Detection for Smart-Road». En: *Sensors* 21.2 (2021), pág. 338. DOI: [10.3390/s21020338](https://doi.org/10.3390/s21020338). URL: <https://www.mdpi.com/1424-8220/21/2/338>.
- [2] Jan Micko et al. «Review of IoT Sensor Systems Used for Monitoring the Road Infrastructure». En: *Sensors* 23.9 (2023), pág. 4469. DOI: [10.3390/s23094469](https://doi.org/10.3390/s23094469). URL: <https://www.mdpi.com/1424-8220/23/9/4469>.
- [3] Gianluca Peruzzi et al. «Combining LoRaWAN and NB-IoT for Edge-to-Cloud Low-Power Connectivity». En: *Applied Sciences* 12.3 (2022), pág. 1497. DOI: [10.3390/app12031497](https://doi.org/10.3390/app12031497). URL: <https://www.mdpi.com/2076-3417/12/3/1497>.
- [4] Miovision. *TrafficLink / Managed Connectivity*. <https://miovision.com/trafficlink/>. Soluciones comerciales. 2023.
- [5] Sensys Networks. *Documentación técnica y productos*. <https://sensysnetworks.com/>. 2023.
- [6] MetroCount. *Contadores y guías técnicas*. <https://www.metrocount.com/>. 2023.
- [7] Exemys *Managed Connectivity*. Accedido: 16-Sep-2025. 2025. URL: <https://www.exemys.com/site/index.shtml>.
- [8] Digi International. *Digi Remote Manager: IoT Device Monitoring and Management Solution*. <https://www.digi.com/products/iot-software-services/digi-remote-manager>. Accedido: 11 de septiembre de 2025. 2025.
- [9] A. A. Sukmandhani, M. Zarlis y Nurudin. «Monitoring Applications for Vehicle based on Internet of Things (IoT) using the MQTT Protocol». En: *BINUS Conference Proceedings*. Accedido: 11 de septiembre de 2025. 2023. URL: <https://research.binus.ac.id/publication/C1B25545-66F9-49C3-B873-D6C537EA23B3/monitoring-applications-for-vehicle-based-on-internet-of-things-iot-using-the-mqtt-protocol/>.
- [10] S. Bharath y C. Khusi. «IoT Based Smart Traffic System Using MQTT Protocol: Node-Red Framework». En: *2nd Global Conference for Advancement in Technology (GCAT)*. Accedido: 11 de septiembre de 2025. 2021. DOI: [10.1109/GCAT52182.2021.9587636](https://doi.org/10.1109/GCAT52182.2021.9587636).
- [11] Zuoling Niu. «Research and Implementation of Internet of Things Communication System Based on MQTT Protocol». En: *Journal of Physics: Conference Series* 012019 (2023). Accedido: 11 de septiembre de 2025.
- [12] OpenRemote. *OpenRemote: 100 % Open Source IoT Device Management Platform*. <https://openremote.io/>. Accedido: 11 de septiembre de 2025. 2025.
- [13] Espressif Systems. *ESP32-C3 Series Datasheet*. Accedido: 23-Sep-2025. Espressif Systems. 2021. URL: [https://www.espressif.com/sites/default/files/documentation/esp32-c3\\_datasheet\\_en.pdf](https://www.espressif.com/sites/default/files/documentation/esp32-c3_datasheet_en.pdf).
- [14] Analog Devices. *Fundamentals of RS-232 Serial Communications*. <https://www.analog.com/en/resources/technical-articles/fundamentals-of-rs232-serial-communications.html>. Accedido: 11-Sep-2025. 2020.

- [15] Texas Instruments. *RS-232 Glossary and Selection Guide*. <https://www.ti.com/lit/SLLA607>. Accedido: 11-Sep-2025. 2016.
- [16] Douglas E. Comer. *Internetworking with TCP/IP: Principles, Protocols, and Architecture*. 6th. Pearson, 2014. ISBN: 9780136085300.
- [17] OASIS y MQTT.org. *MQTT Version 5.0 Specification*. <https://mqtt.org/mqtt-specification/>. Accedido: 11-Sep-2025. 2019.
- [18] IBM. *What Is a REST API (RESTful API)?* <https://www.ibm.com/think/topics/rest-apis>. Accedido: 11-Sep-2025. 2021.
- [19] Microsoft Azure Architecture Center. *Web API Design Best Practices*. <https://learn.microsoft.com/en-us/azure/architecture/best-practices/api-design>. Accedido: 11-Sep-2025. 2022.
- [20] Texas Instruments. *MAX232: Dual EIA-232 Driver/Receiver*. Datasheet. 2016. URL: <https://www.ti.com/lit/ds/symlink/max232.pdf>.
- [21] Espressif Systems. *ESP-IDF Programming Guide for ESP32-C3*. <https://docs.espressif.com/projects/esp-idf/en/stable/esp32c3/index.html>. Consultado el 11 de septiembre de 2025. 2024.
- [22] *SIM800L GSM/GPRS Module Datasheet*. Disponible en: [https://simcom.ee/documents/SIM800L/SIM800L\\_Hardware\\_Design\\_V1.01.pdf](https://simcom.ee/documents/SIM800L/SIM800L_Hardware_Design_V1.01.pdf). SIMCom Wireless Solutions. 2019.
- [23] Eclipse Foundation. *Eclipse Mosquitto: An Open Source MQTT Broker*. <https://mosquitto.org/>. Consultado el 11 de septiembre de 2025. 2025.
- [24] OpenJS Foundation. *Node.js JavaScript Runtime*. <https://nodejs.org/>. Consultado el 11 de septiembre de 2025. 2025.
- [25] Express.js Foundation. *Express: Fast, unopinionated, minimalist web framework for Node.js*. <https://expressjs.com/>. Consultado el 11 de septiembre de 2025. 2025.
- [26] Oracle Corporation. *MySQL: The World's Most Popular Open Source Database*. <https://www.mysql.com/>. Consultado el 11 de septiembre de 2025. 2025.
- [27] Sequelize. <https://sequelize.org/>. Accedido: 2025-09-25. 2025.
- [28] Winston - A logger for just about everything. <https://github.com/winstonjs/winston>. Accedido: 2025-09-25. 2025.
- [29] Morgan - HTTP request logger middleware for Node.js. <https://github.com/expressjs/morgan>. Accedido: 2025-09-25. 2025.
- [30] Ionic Team. *Ionic Framework - Cross-platform mobile apps with web technologies*. Último acceso: 19 de septiembre de 2025. 2025. URL: <https://ionicframework.com/>.
- [31] Angular Team. *Angular - One framework. Mobile desktop*. Último acceso: 19 de septiembre de 2025. 2025. URL: <https://angular.io/>.
- [32] Docker Documentation. *Docker Compose: Define and run multi-container applications*. <https://docs.docker.com/compose/intro/>. Accedido: 02-10-2025. 2025.
- [33] Espressif Systems. *ESP-IDF Programming Guide*. Último acceso: 19 de septiembre de 2025. 2025. URL: <https://docs.espressif.com/projects/esp-idf/en/latest/esp32/>.
- [34] GitHub, Inc. *GitHub: Where the world builds software*. Último acceso: 19 de septiembre de 2025. 2025. URL: <https://github.com/>.
- [35] Martin Fowler. *Patterns of Enterprise Application Architecture*. Capítulo 11: Object-Relational Behavioral Patterns. Addison-Wesley Professional, 2002. ISBN: 978-0321127426.



- [36] FHWA. *Traffic Monitoring Guide*. Inf. téc. Federal Highway Administration, 2022. URL: [https://www.fhwa.dot.gov/policyinformation/tmguide/2022\\_TMG\\_Final\\_Report.pdf](https://www.fhwa.dot.gov/policyinformation/tmguide/2022_TMG_Final_Report.pdf).
- [37] FHWA. *Traffic Detector Handbook, 3rd Edition*. Inf. téc. Federal Highway Administration, 2006. URL: <https://www.fhwa.dot.gov/publications/research/operations/its/06108/06108.pdf>.